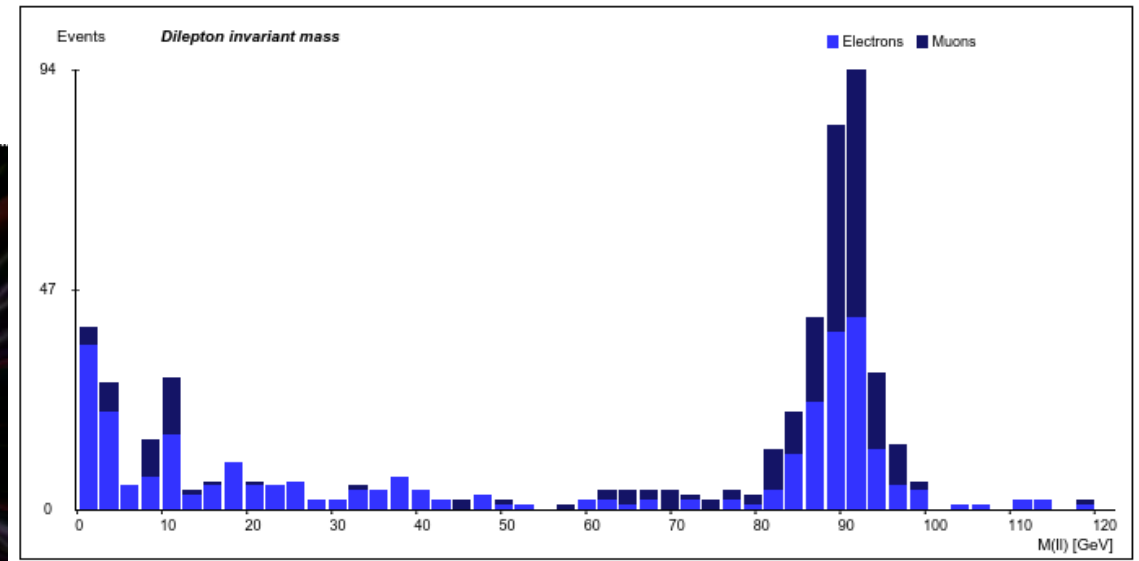
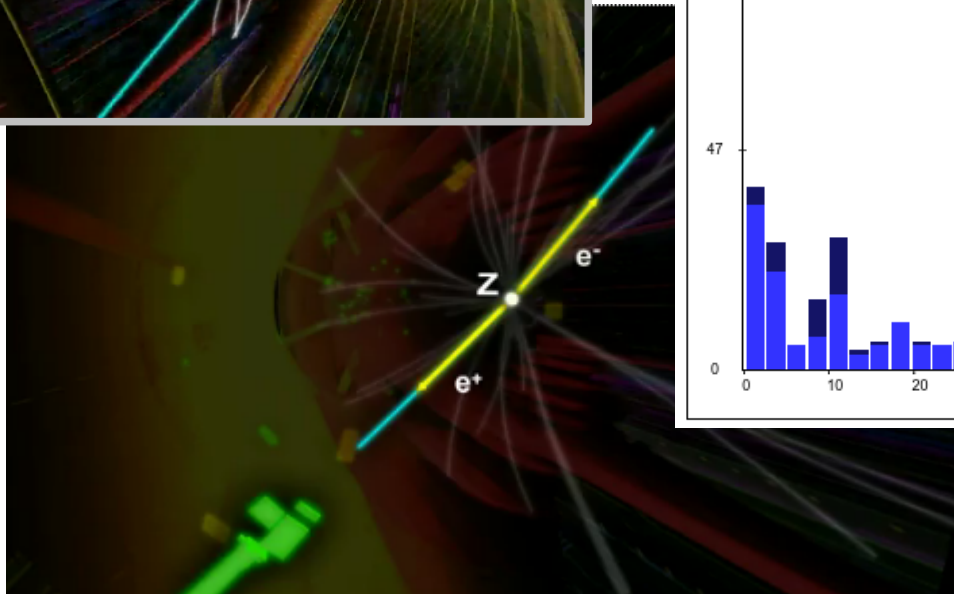
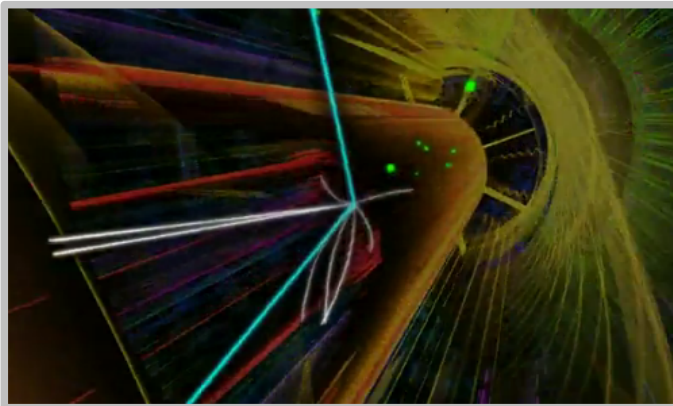


# Masterclass – parcours Z :

*discussion de distributions  
 en masse invariante relativiste*

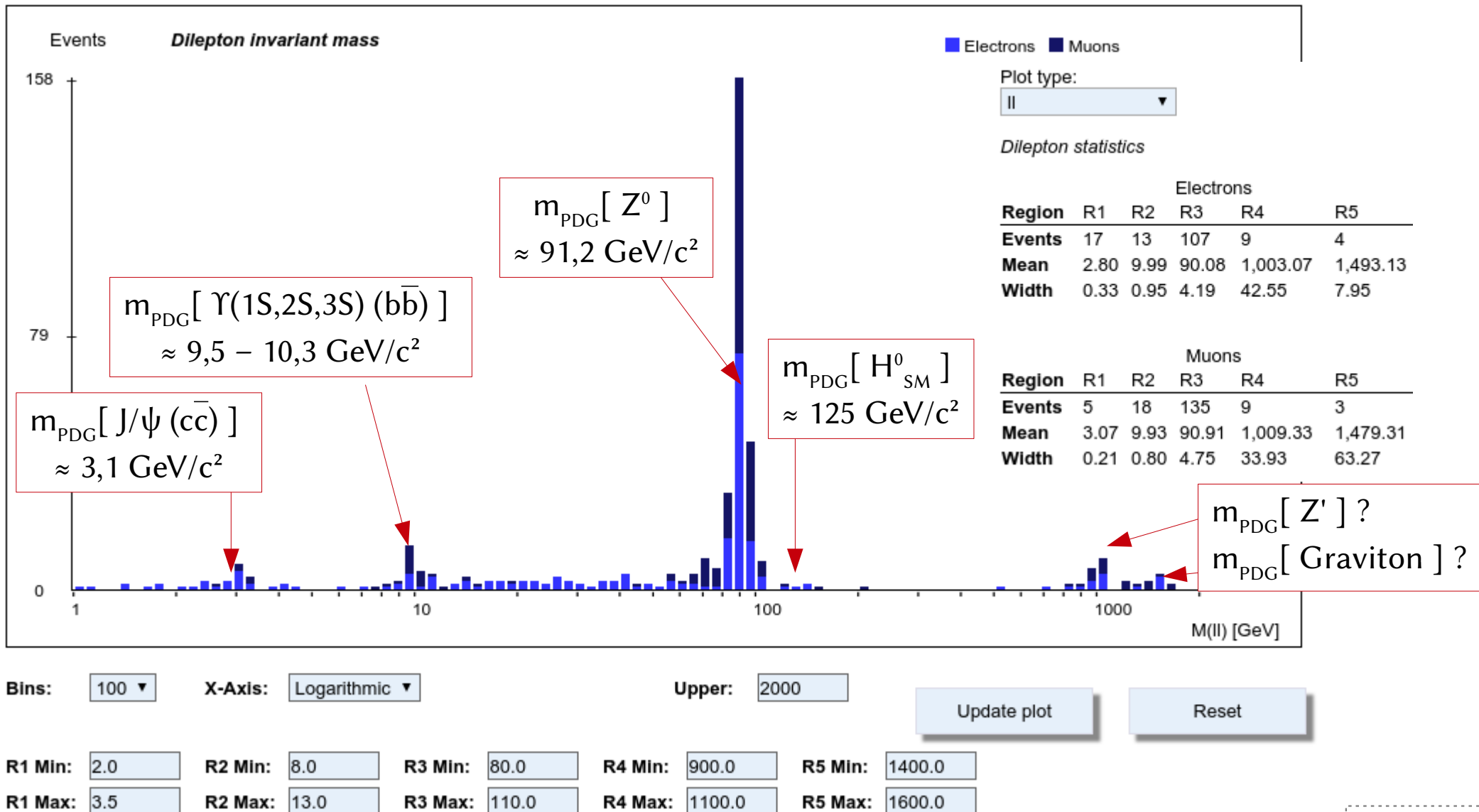


# Plan

---

- I. Résultats : Strasbourg – jeu 17 mars 2016
- II. Signal Higgs  $\rightarrow \gamma\gamma$  // bruit de fond,  
pour ATLAS run I
- III. Notes synthétiques

# I.1 – $m_{inv}(l^+l^-)$ : distribution



$$l.2 - m_{inv}(l^+l^-l^+l^-) : .$$

Region	Electrons				
	R1	R2	R3	R4	R5
Events	64	86	433	37	6
Mean	2.91	9.65	89.21	993.63	1,488.83
Width	0.44	1.38	3.58	33.72	24.64

Number of events

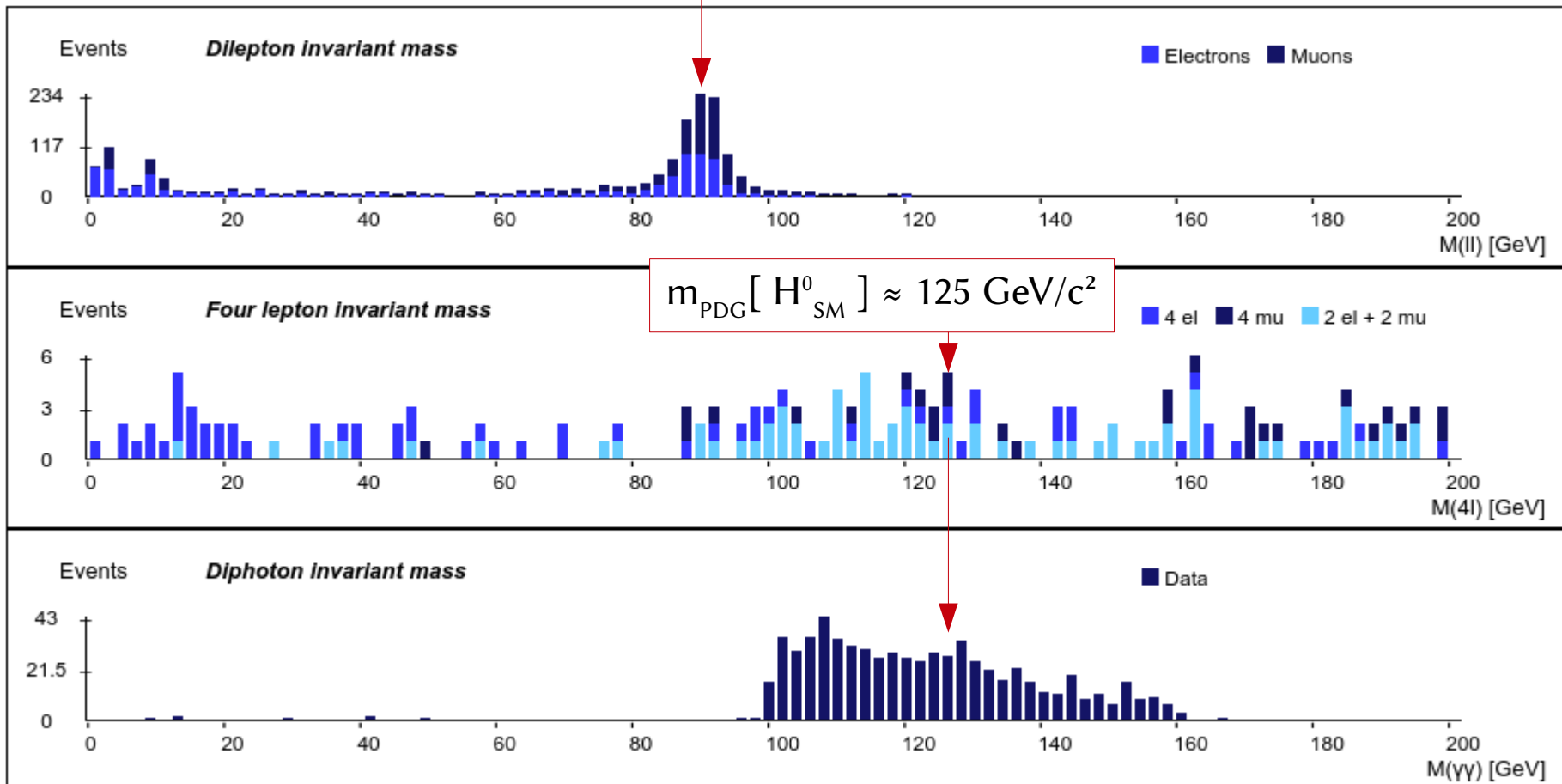
Plot type:  
ll+4l+γγ

Dilepton statistics

$$m_{PDG}[Z^0] \approx 91,2 \text{ GeV}/c^2$$

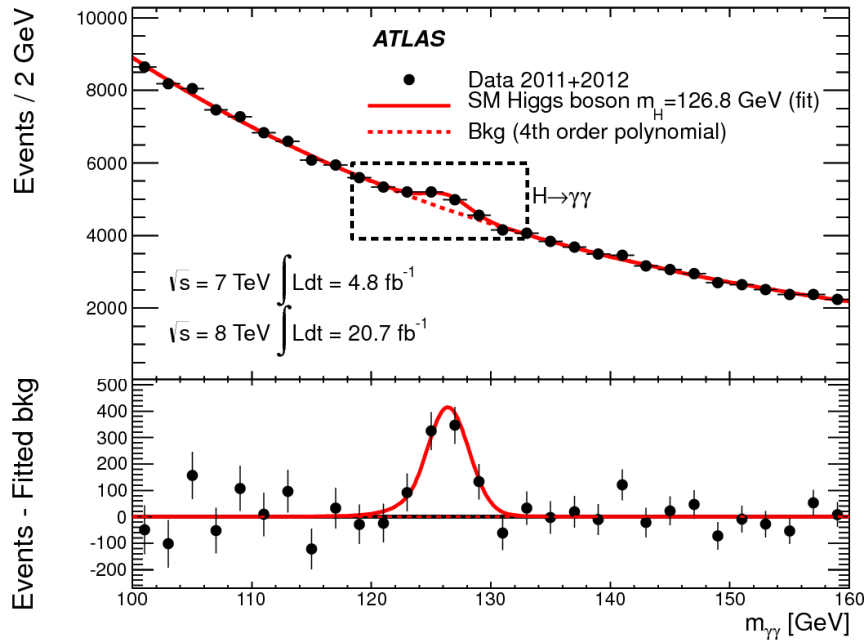
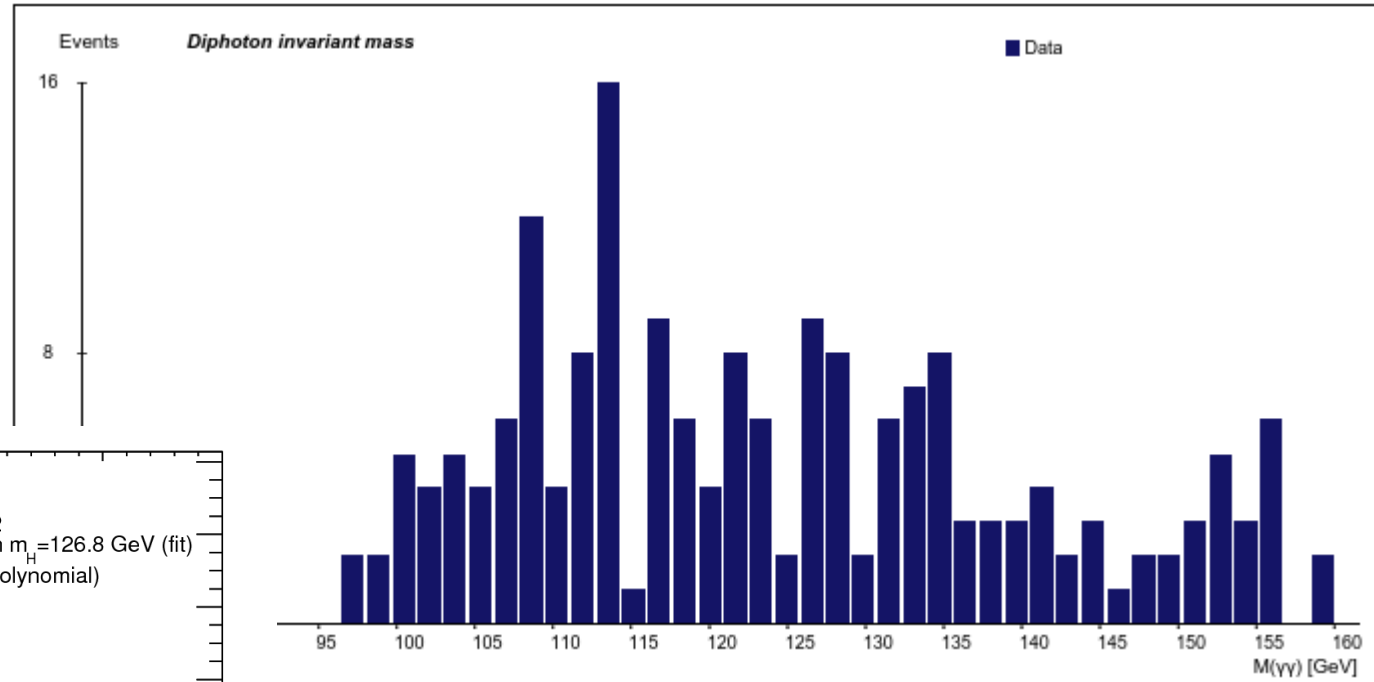
Region	Muons				
	R1	R2	R3	R4	R5
Events	49	57	532	34	4
Mean	3.09	9.98	90.56	1,009.94	1,448.42
Width	0.25	0.77	3.43	44.82	25.30

	Student distribution Expected	
	ll	4l
ll	1894	2438
4l	264	40
YY	679	1125
Sum	2784	3603



# II.1 – Lycée vs ATLAS (LHC run I) : Higgs $\rightarrow \gamma\gamma$

Résultats ATLAS  
 $25.5 \text{ fb}^{-1} \rightarrow$  signal “net”  
 suffisamment “net” = ?!



$$m_{\text{inv}}(\gamma\gamma)$$

Fig.13, Higgs  $\rightarrow \gamma\gamma$  Run I = [arXiv:1408.7084](https://arxiv.org/abs/1408.7084)

# III.1 – Notes : résumé

- 1.  $Z^0$ :** Masse PDG ( $\rightarrow$  PDG = ?)  
Masse mesurée en TP ( $\mu + \text{err}$ )  $\rightarrow$  notion de Gaussienne + écart type (pr Term, ok)

Transition :  $Z^0$ , signal très net // Higgs, cas plus ambigu...  $\rightarrow$  notion de rapport S/B

- 2. Higgs :** Après 2012, existence du Higgs = prouvée,  $m_{\text{PDG}}$

Différence avec  $Z^0$  : rapport Signal ou Bruit ?

Ex. : Soit 1 bin, Bin content = 3  $\rightarrow$  1,2,3 coup(s) de signal ? sûr à 100 % ?

$\rightarrow$  pas de distinction 100 % fiable au cas par cas !

But : distinguer *statistiquement* un signal (surpopulation) qui émerge au-dessus d'un bruit de fond

Illustration : « signficance » avec graphe H  $\rightarrow \gamma\gamma$

Higgs signal (Sbg) vs qté équiv ATLAS ( $0.08 \text{ fb}^{-1} \sim 8 \cdot 10^{12}$  évts pp)

(NB : stratégie de déclenchement pour l'enregistrement ...)

Stat++ :  $\rightarrow 2 \text{ fb}^{-1} (\sim 2 \cdot 10^{14}$  évts pp)

$\rightarrow 10 \text{ fb}^{-1} (\sim 10^{15}$  évts pp)

NB :  $5 \text{ fb}^{-1} \text{ 7 TeV} = 5\sigma_{2012} \text{ 7 TeV}$ , [arXiv:1202.1408](https://arxiv.org/abs/1202.1408)

$\rightarrow 25 \text{ fb}^{-1} (\sim 2 \cdot 10^{15}$  évts pp = Run I, Fig.13, Higgs  $\rightarrow \gamma\gamma$  Run I = [arXiv:1408.7084](https://arxiv.org/abs/1408.7084))

- 3. Autres résonances :**  $J/\psi$ ,  $\Upsilon$

- 4. Les hypothétiques exotiques**

NB : Injection de signal simulé,

« Si  $m(Z')$  = ..., alors ATLAS verrait ... »

# *Annexes*

Annexe 1 : ven 18 mars 2016

Annexe 2 : Lycée vs ATLAS

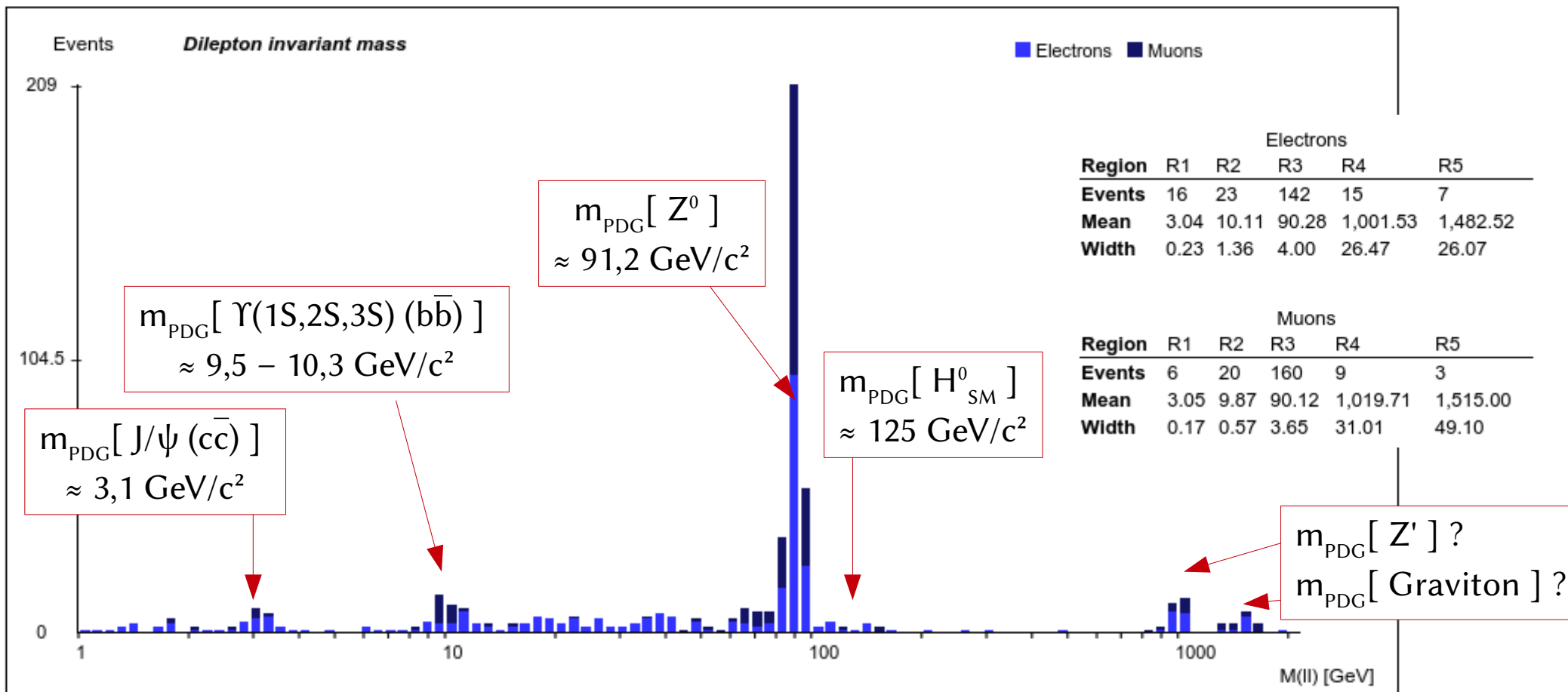
Annexe 3 : caractéristiques de particules

Annexe 4 : détails IPPOG

# A.1 - $m_{inv}(l^+l^-)$ : distribution

Plot type:

Dilepton statistics



Bins:  X-Axis:  Upper:

R1 Min:  R2 Min:  R3 Min:  R4 Min:  R5 Min:

R1 Max:  R2 Max:  R3 Max:  R4 Max:  R5 Max:

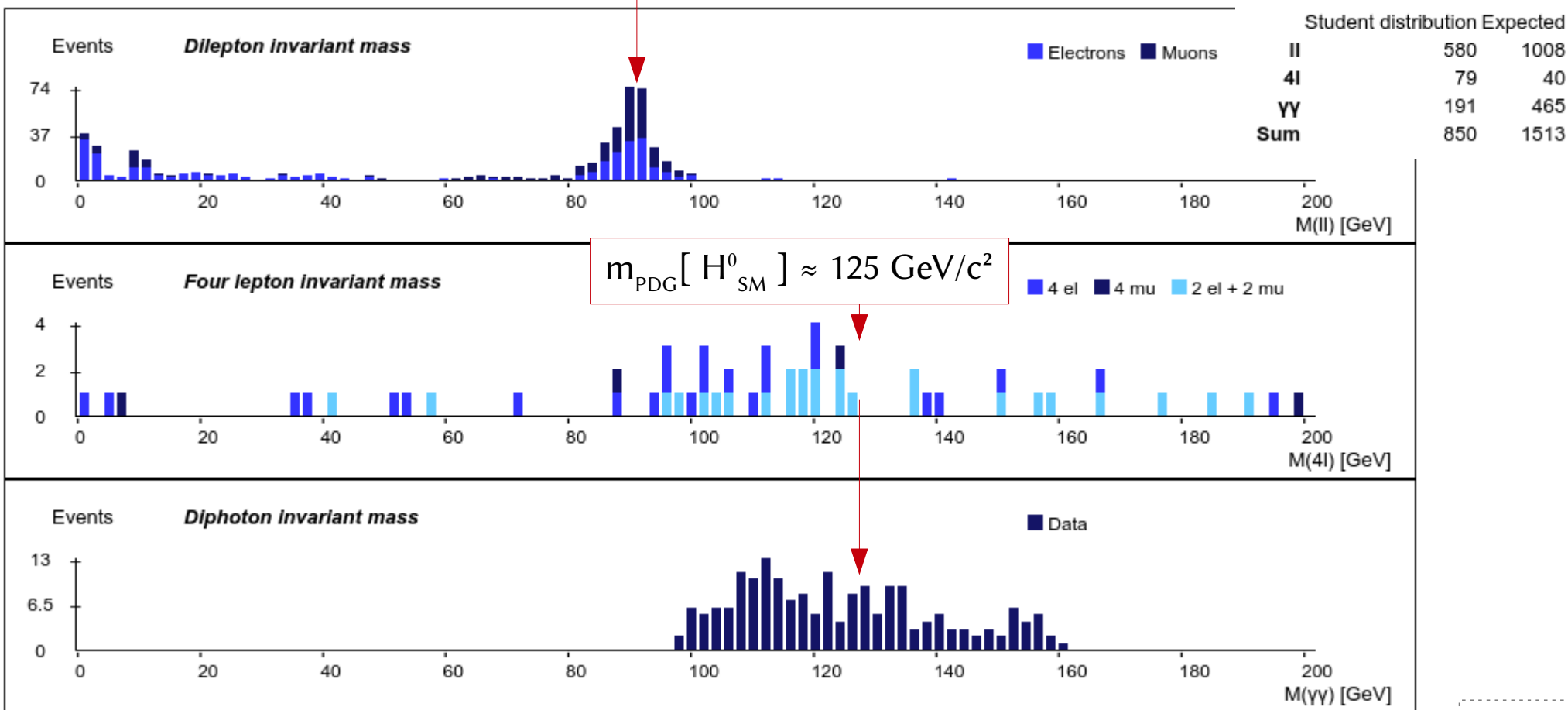


# A.2 – $m_{inv}(l^+l^-l^+l^-) :.$

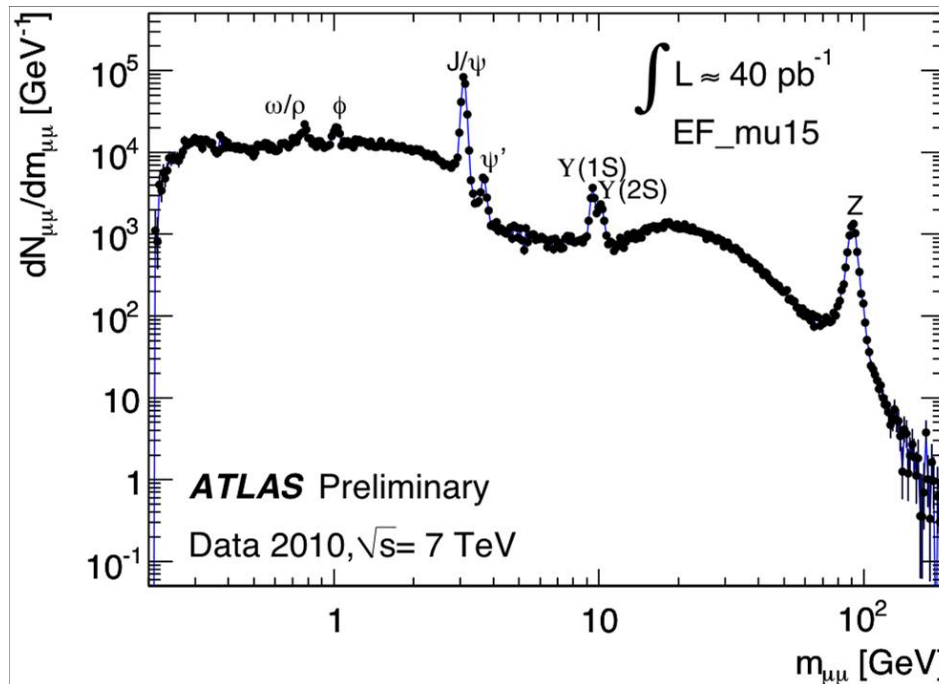
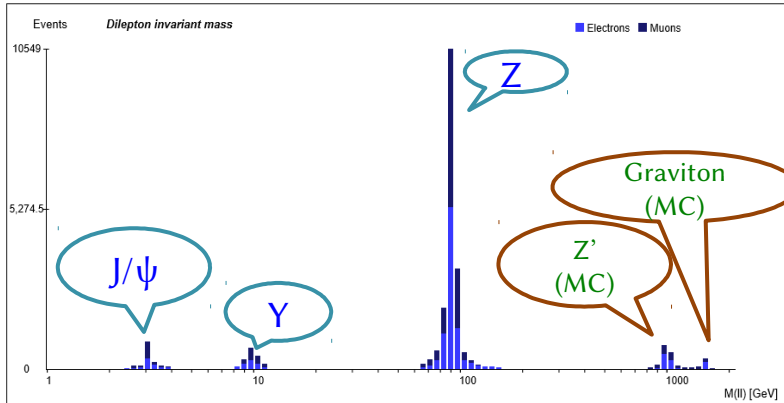
Electrons					
Region	R1	R2	R3	R4	R5
Events	22	24	140	15	7
Mean	3.03	10.20	90.07	1,001.53	1,482.52
Width	0.42	1.40	3.63	26.47	26.07

Muons					
Region	R1	R2	R3	R4	R5
Events	7	21	159	9	3
Mean	2.90	10.00	90.06	1,019.71	1,515.00
Width	0.39	0.83	3.58	31.01	49.10

$m_{PDG}[Z^0]$   
 $\approx 91,2 \text{ GeV}/c^2$



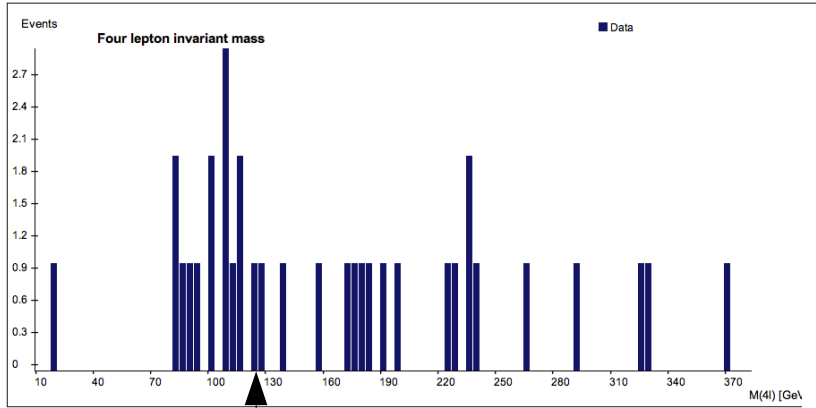
# B.1 – Lycée vs ATLAS : $M_{inv}(l^+l^-)$ , de 1 à 2000 $GeV/c^2$



Continuum  
 $\mu^+\mu^-$   
 (similaire, pour  $e^+e^-$ )

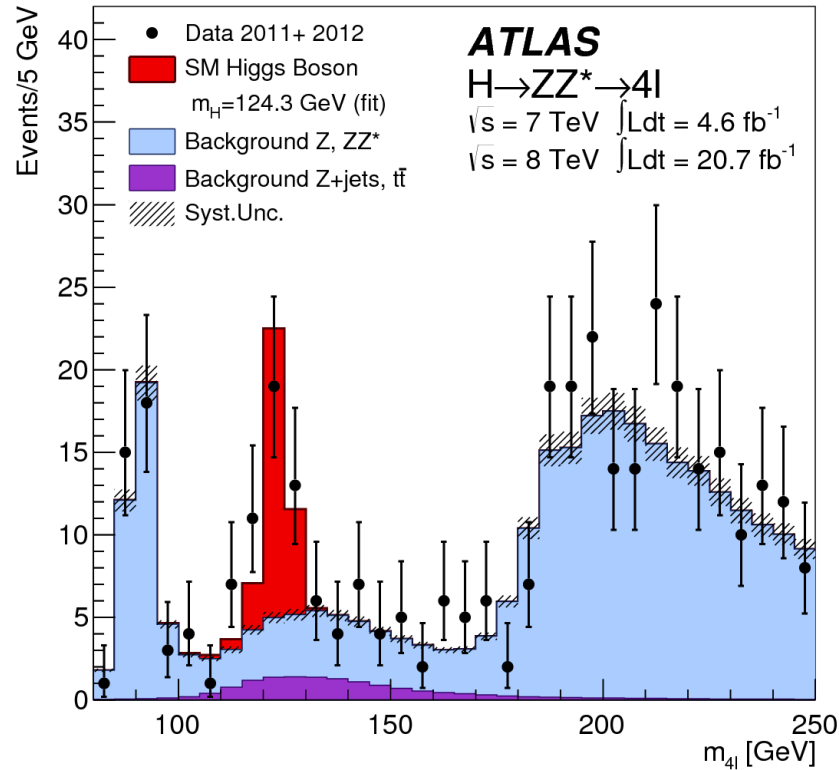
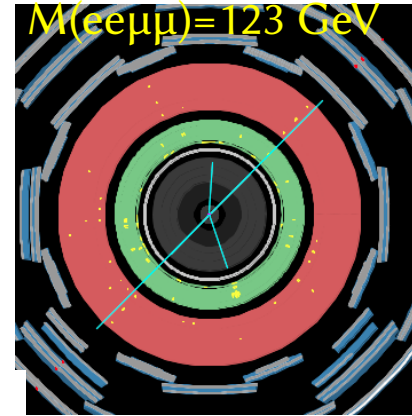


# B.2 – Lycée vs ATLAS : Higgs $\rightarrow ZZ^* \rightarrow 4l^\pm$



Higgs ?

- ATLAS results
- $H \rightarrow ZZ^* \rightarrow l^+l^-l^+l^-$
- $25.3 \text{ fb}^{-1}$



$e^+e^- e^+e^-$   
 ou  
 $e^+e^- \mu^+\mu^-$   
 ou  
 $\mu^+\mu^- \mu^+\mu^-$

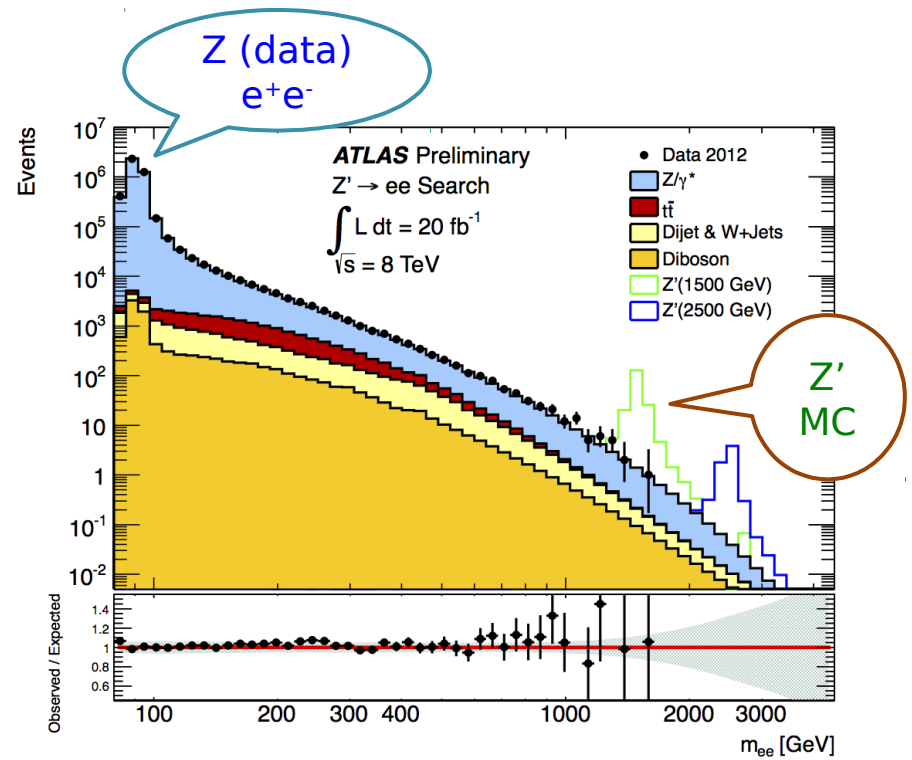
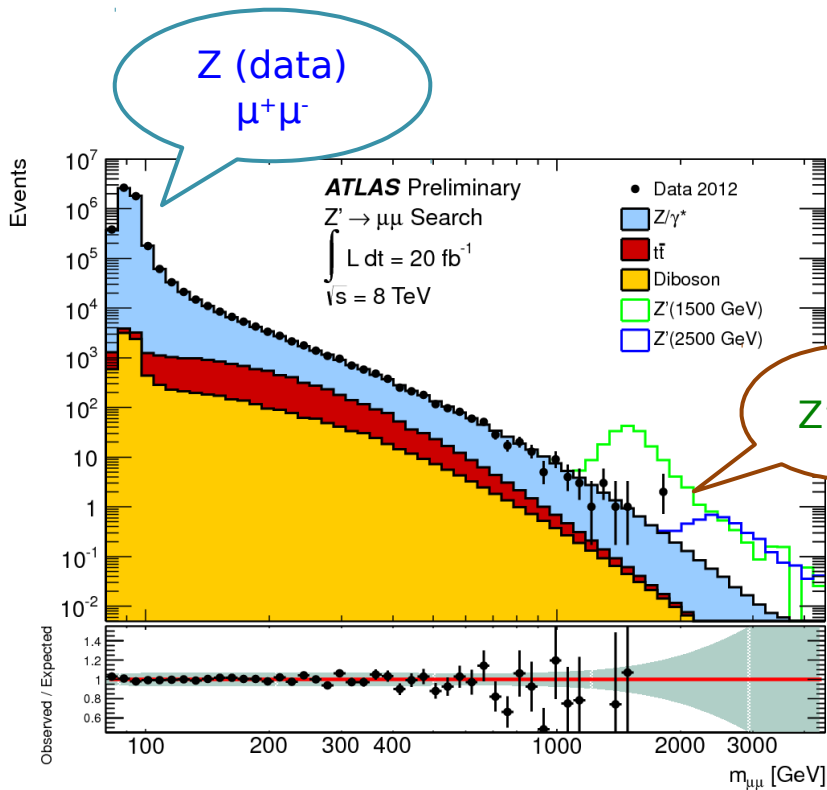


# B.3 – Lycée vs ATLAS : Z'

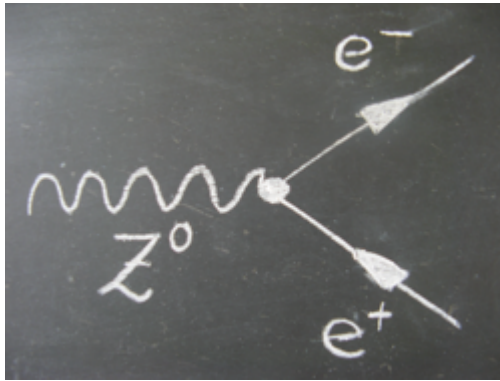
Y-a-t-il de la nouvelle physique ?  
Par exemple un nouveau boson Z' ?

■ ATLAS status:

- Z ? : oui
- Z' ? non (pas encore ?)
- masse(Z') attendue > 2-2.5 GeV



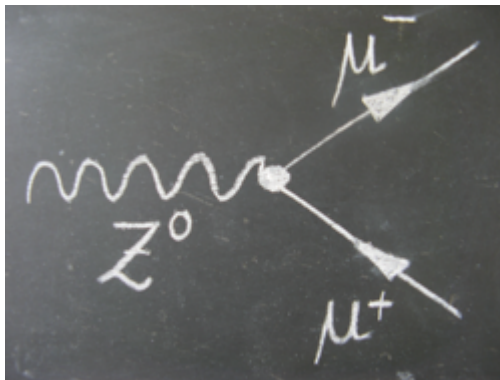
# C.1 – Caractéristiques : $Z^0$



$m(Z^0) \approx 91 \text{ GeV}$

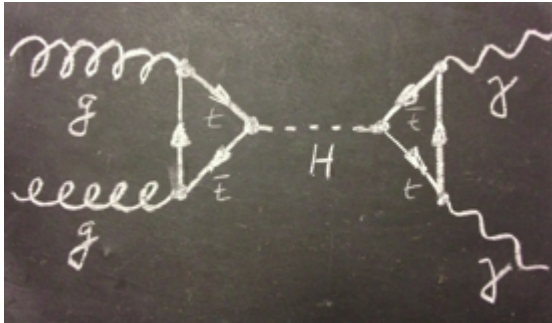
$Z^0$ , temps de vie caractéristique :  $3 \cdot 10^{-25} \text{ s} \dots$

Proba désintégration  $Z \rightarrow e^+e^- = (3.363 \pm 0.004)\%$

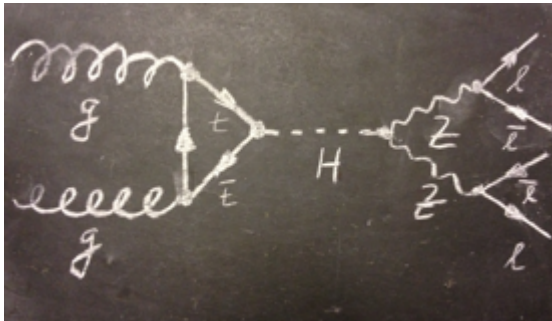


Proba désintégration  $Z \rightarrow \mu^+\mu^- = (3.366 \pm 0.007)\%$

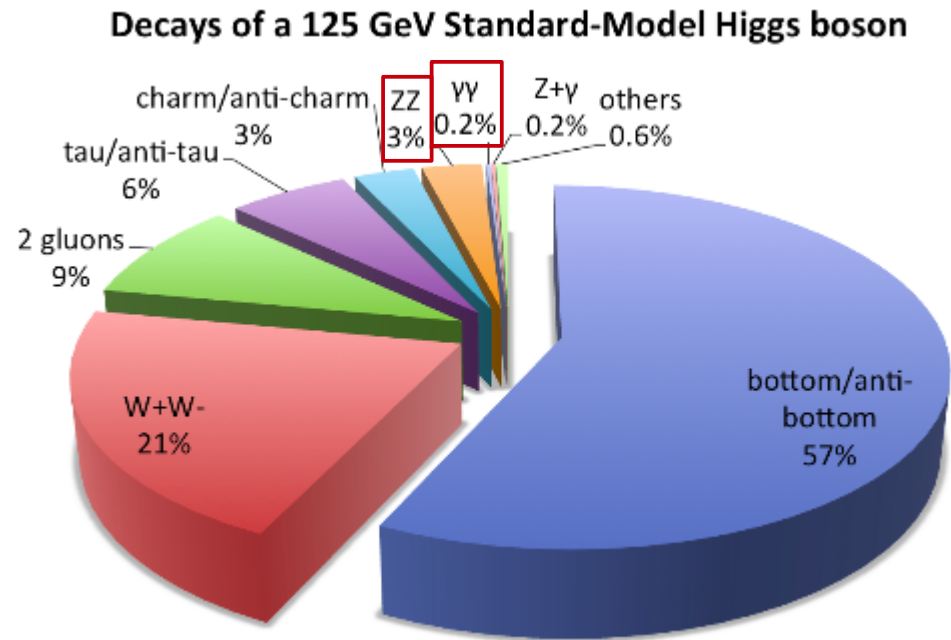
# C.2 – Caractéristiques : Higgs<sub>(Std Model)</sub>



$m(H_{SM}) \approx 125 \text{ GeV}$

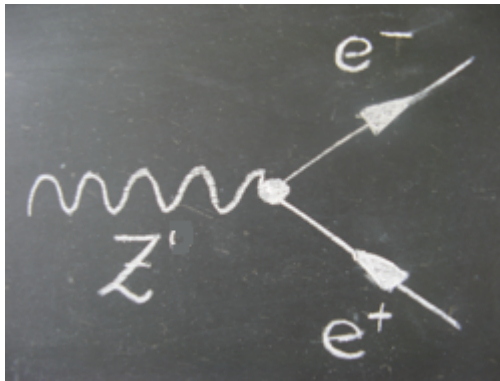


Higgs Boson, temps de vie caractéristique :  $< 3 \cdot 10^{-25} \text{ s} \dots$

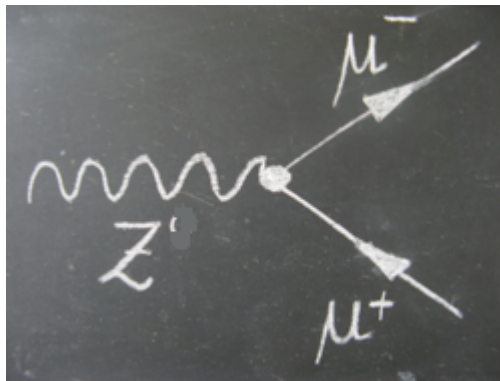


Masterclass - Zpath

## C.3 – Caractéristiques : Z'



$m(Z') > 1-2,5 \text{ TeV}$



Le boson  $Z'$  n'a encore jamais été observé dans les expériences. C'est un partenaire lourd du boson  $Z$  dont l'existence est prévue par certaines théories qui vont au-delà du Modèle Standard → introduction nouvelle force faible.

Pour plupart des modèles, → modes de production + désintégration du boson  $Z'$  = très similaires à ceux du boson  $Z$  ordinaire

Les mêmes techniques pour le  $Z$  = peuvent être utilisées pour rechercher le boson  $Z'$  !

# D.1 – Questions potentielles : briefing ippog

---

- **di-lepton measurement**

- Compare the histograms of the electron-positron and muon-antimuon pairs.
  - Can you point out differences/similarities?
  - How often does the Z boson decay into electron-positron pairs?  
How often does the decay result in muon-antimuon pairs?
  - What did you expect? Why?
  - Do you notice any other particles? At which invariant masses?
- What is the most probable mass of the Z boson?
  - Why is there not one exact value for the Z boson mass?
  - What could be the possible explanations of why the distribution is so wide?

- Have you discovered the Z' boson?
  - If you think so, what is the Z' boson's mass?
- Have you discovered the Graviton?
  - If you think so, what is the Graviton mass?
- Why is it useful to combine your results with those obtained by other groups?

- **di-photon measurement**

- Do you see any sign of Higgs decaying to 2 photons,  $H \rightarrow \gamma\gamma$ ?
  - If not, what could be the reasons?
  - In fact the full sample does contain real Higgs candidates, even if you have not found them!
- Any sign of the Z' boson or Graviton?
  - Why/why not?

- **4-lepton measurement**

- Do you see any sign of Higgs decaying to 4 leptons,  $H \rightarrow ZZ \rightarrow llll$ ?
  - If not, what could be the reasons?
- In fact the whole sample contains Higgs candidates. At which mass?
- Any sign of the Z' boson or Graviton?
  - Why/why not?



## *D.2 – Données TP : contenu*

---

**Datasets:** ATLAS real pp-data from 2012 at 8 TeV + MC simulations

Di-leptons: ~20000 events from data

- Di-electrons and di-muons from Z (mainly),  $J/\psi$  and  $\Upsilon$
- 2000 fully simulated  $Z'$  events (mass 1 TeV),  
equally shared among the  $e^+e^-$  and  $\mu^+\mu^-$  decay channels
- 600 fully simulated Graviton events (mass 1.5 TeV),  
equally shared among the  $e^+e^-$  and  $\mu^+\mu^-$  decay channels

Di-photons: Higgs candidates (data) and simulated Gravitons

- Higgs candidates: real data events corresponding to  $2 \text{ fb}^{-1}$   
~10000 events  
 $\gamma\gamma$  cuts as in ATLAS publication – including converted photons,
- ~400 fully simulated Graviton events (mass 1.5 TeV) decaying into di-photons

4 leptons: Higgs candidates (data) and simulated Gravitons

- Higgs candidates: 40 events  
cuts as in ATLAS publication
- ~400 fully simulated Graviton events (mass 1.5 TeV) decaying into two Z-bosons  
(which subsequently decay into  $e^\pm$  and  $\mu^\pm$ )